

# 하천 오염물질 이송확산 모의에서의 프랙탈 계산기법

## Fractal calculus for water pollutant diffusion modeling

김상단\* / 송미영\*\*  
Sangdan Kim, Mee Young Song

### 요 지

프랙탈 이송확산방정식은 정수 차수의 미분연산자로 구성된 고전적인 이송확산방정식과 비교하여 프랙탈 차수의 미분연산자로 구성된 보다 상위개념의 방정식으로써 정의된다. 지금까지의 프랙탈 이송확산방정식은 추계학적인 기법을 동원하여 푸리에-라플라스 공간에서 주로 해석되었으나, 본 연구에서는 실제 공간에서 유한차분개념을 도입하여 보다 직접적으로 하천에서의 오염물질 이송확산에 관한 지배방정식을 유도하였다. 이러한 개념의 유도방법은 프랙탈 차수 및 관련 확산계수의 물리적인 추정에 관한 실마리를 제공할 수 있다. 고전적인 이송확산방정식과는 달리 프랙탈 이송확산방정식은 실제 하천에서 관측되는 오염물질의 시간-농도 분포곡선의 왜곡현상과 분포곡선의 전후방부 농도를 보다 실제에 가깝게 모의할 수 있을 것으로 기대되어진다.

**핵심용어:** 수질, 이송확산, 프랙탈

## 1. 서론

Taylor(1954)는 확산연구에서 다음과 같은 1차원 Fick의 이송확산방정식(Fick, 1855)을 처음 소개하였다.

$$\frac{\partial C}{\partial t} = -\frac{\partial}{\partial x} \nu C + \frac{\partial}{\partial x} K \frac{\partial C}{\partial x} \quad (1)$$

여기서  $C$ 는 오염물질의 농도,  $\nu$ 는 유속,  $K$ 는 확산계수이다. 이러한 1차원 Fick의 확산방정식에 의해 모의된 결과는 정규분포의 형태를 보이고 있는 반면에, 대부분 자연하천에서의 실측된 시간-농도 분포곡선은 왜곡된 분포형태를 보이고 있으며, 또한 모의된 시간-농도 분포곡선은 전방부 또는 후방부의 농도가 실제하천에서의 값보다 작은 값을 주는 것으로 알려져 있다. 이에 본 연구는 문제해결의 일차적 과제로서 프랙탈 차원의 미분방정식을 도입하여 실제하천에서 적용 가능한 Fick의 법칙을 일반화하여 새로운 개념의 이송확산방정식의 수학적 유도를 목적으로 한다.

## 2. 유한차분의 측면에서 본 Fick의 법칙

오염물질 입자의 플럭스  $J$ 는 농도구배에 비례한다는 Fick의 법칙의 수식 표현은 다음과 같다.

$$J = -K \frac{\partial C}{\partial x} \quad (2)$$

여기서  $J$ 는 단위시간당 단위면적당 오염물질량의 플럭스이다. Fick의 법칙에 따른 오염물질 입자의 운동은 그림 1과 같은 인접 셀 사이에서의 오염물질 입자의 확산을 위한 유한차분기법을 이용하여 살펴볼 수 있다. 먼저 상자  $i$  안에 있는 오염물질 입자의 수를  $M_i$ 라 하면 각각의 상자의 농도는 아래와 같이 쓸 수 있다.

\* 정회원, 경기개발연구원 환경정책연구부, 책임연구원, E-mail: skim@kri.kr.kr

\*\* 정회원, 경기개발연구원 환경정책연구부, 연구위원, E-mail: mysong@kri.kr.kr

$$C_i = \frac{M_i}{\Delta V} \quad (3)$$

여기서  $\Delta V = A\Delta x$ 로서 상자의 부피를 의미하며  $A$ 는 흐름 단면적이다. 하천흐름에 의한 유속은 일단 무시하고 상자 안의 오염물 입자들 중에서 단위시간당 총  $R$ 의 비율로 입자들이 전방으로 확률  $p$ , 후방으로 확률  $q$ 를 보이며 점프한다(여기서  $p+q=1$ )고 가정하면, 상자  $i$ 에서 단위시간  $\Delta t$  동안에 상자  $i+1$ 과  $i-1$ 로 점프하는 입자들의 총 수는  $M_i R \Delta t$ 가 되며, 상자  $i$ 에서 단위시간  $\Delta t$  동안의 플럭스  $J_i$ 는 다음과 같이 쓸 수 있다.

$$\begin{aligned} J_i &= \frac{R}{A} (pM_i + pM_{i-1} - qM_i - qM_{i+1}) \\ &= -R\Delta x^2 \left\{ p \cdot \frac{C_i - C_{i-1}}{\Delta x} - q \cdot \frac{C_i - C_{i+1}}{\Delta x} \right\} + 2R\Delta x (p - q)C_i \end{aligned} \quad (4)$$

이 때 극한  $\Delta x \rightarrow 0$ 을 취한 후,  $p = q = 1/2$ ,  $K = R\Delta x^2$ 이라 하면

$$J_i = -R\Delta x^2 \left( p \cdot \frac{\partial C}{\partial x} + q \cdot \frac{\partial C}{\partial x} \right) = -K \cdot \frac{\partial C}{\partial x} \quad (5)$$

### 3. 프랙탈 계산법

연속함수  $C(x)$ 의 Taylor급수를 고려하면 다음과 같이 쓸 수 있다.

$$C(x + \tau) = C(x) + \tau DC(x) + \frac{\tau^2}{2!} D^2 C(x) + \dots + \frac{\tau^n}{n!} D^n C(x) + \dots \quad (6)$$

여기서  $D$ 는 미분연산자이며, 상방향연산자  $E_\tau^{+1}$ 을  $E_\tau^{+1}C(x) = C(x + \tau)$ 와 같이 정의하면  $E_\tau^{+1}C(x) = e^{\tau D}C(x)$ 이 된다. 따라서, 미분연산자와 상방향연산자는 서로  $E_\tau^{+1} = e^{\tau D}$ 와 같은 관계를 맺고 있음을 알 수 있다. 우측차분연산자는  $\Delta_-^1 = 1 - E_\tau^{+1} = 1 - e^{\tau D}$ 과 같이 정의할 수 있으며, 이러한 개념으로부터 우측미분연산자를 아래와 같이 정의할 수 있다.

$$\frac{dC(X)}{dx} = -D_-^1 C(x) = -\lim_{\tau \rightarrow 0} \frac{\Delta_-^1 C(x)}{\tau} \quad (7)$$

한편, 하방향연산자는  $E_\tau^{-1}C(x) = C(x - \tau)$ , 좌측차분연산자는  $\Delta_+^1 = 1 - E_\tau^{-1} = 1 - e^{-\tau D}$ 로 정의할 수 있으며, 좌측미분연산자는 다음과 같다.

$$\frac{dC(x)}{dx} = D_+^1 C(x) = \lim_{\tau \rightarrow 0} \frac{\Delta_+^1 C(x)}{\tau} \quad (8)$$

이 때, 식 (7)과 (8)은 수학적으로 같은 연산자를 표기하므로 좌우측미분연산자들은  $D_+^1 = -D_-^1$ 이 됨을 알 수 있다.

다음 과정으로, 위와 같은 정수차수 미분의 경우를 바탕으로 하여 다음과 같이 프랙탈 차수의 미분을 정의할 수 있다.

$$\begin{aligned} \Delta_+^\alpha C(x) &= (1 - E_\tau^{-1})^\alpha C(x) = \sum_{k=0}^{\infty} \binom{\alpha}{k} (-1)^k C(x - k\tau) \\ &= W_0^\alpha C(x) - W_1^\alpha C(x - \tau) - W_2^\alpha C(x - 2\tau) - \dots \end{aligned} \quad (9)$$

여기서  $W$ 는 프랙탈 가중함수로서  $W_0^\alpha = 1$ ,  $W_k^\alpha \geq 0$  ( $k \geq 1$ )이다. 이 때,  $0 < \alpha \leq 1$ 이다. 마찬가지로 우측차분연산자에 대해서는 아래와 같이 쓸 수 있다.

$$\Delta_-^\alpha C(x) = C(x) - \sum_{k=1}^{\infty} W_k^\alpha C(x + k\tau) \quad (10)$$

이로부터 프랙탈 차수의 미분연산자는 다음과 같이 정의될 수 있다.

$$D_+^\alpha C(x) = \frac{d^\alpha}{dx^\alpha} C(x) = \lim_{\tau \rightarrow 0} \frac{\Delta_+^\alpha}{\tau^\alpha} C(x), \quad D_-^\alpha C(x) = -\frac{d^\alpha}{dx^\alpha} C(x) = \lim_{\tau \rightarrow 0} \frac{\Delta_-^\alpha}{\tau^\alpha} C(x) \quad (11)$$

따라서  $\alpha$ 가 정수가 아니라면  $D_+^\alpha C(x) \neq -D_-^\alpha C(x)$ 이 된다. 여기서 프랙탈 차수의 미분연산자는 Samko 등(1993)에 의해 다음과 같이 정의된다.

$$D_+^\alpha C(x) = \frac{1}{\Gamma(n - \alpha)} \frac{d^n}{dx^n} \int_{-\infty}^x ds (x - s)^{n - \alpha - 1} C(s) \quad (12)$$

$$D_-^\alpha C(x) = \frac{(-1)^n}{\Gamma(n - \alpha)} \frac{d^n}{dx^n} \int_x^\infty ds (s - x)^{n - \alpha - 1} C(s) \quad (13)$$

이 때  $n$ 은  $\alpha$ 보다 작지 않은 최소 정수이다. 그림 2는 정수 차수의 일반적인 도함수와 프랙탈 차수의 도함수의 비교를 보여주고 있다. 어떤 점  $x = s$ 에서의 정수 차수 도함수는  $s$  근방의 기울기로서 정의됨에 따라 도함수가 내포하고 있는 정보는 함수의 국부적인 거동만을 제공하는 반면에, 어떤 점  $x = s$ 에서의 프랙탈 차수의 도함수는 함수 전체의 정보를 모두 포함하고 있다 (blank, 1996). 그림 3은  $\alpha$ 가 각각 0.1, 0.5, 0.9일 때, 어떤 주어진 점에 대한 주위 점들의 가중치  $W_k^\alpha$ 를 보여주고 있다.  $\alpha$ 값이 1에 가까운 값일수록 근방의 점들에 보다 큰 가중치가 주어지며,  $\alpha$ 값이 0에 가까울수록 먼 곳에 있는 점들의 영향이 더 크게 작용하고 있다. 즉, 프랙탈 차수의 미분연산자는 어떤 점에 대한 전체 함수값들의 가중평균이 된다.

#### 4. 프랙탈 Fick의 법칙

이제 프랙탈 Fick의 법칙을 유도하기 위하여 그림 4를 고려하도록 하겠다. 그림 4에서 알 수 있듯이 상자  $i$  안에 있는 오염물 입자들은 그림 1의 경우와는 달리 시간  $\Delta t$  동안에 상자  $i - 1$ 과  $i + 1$  뿐만 아니라 그보다 더 멀리 이동할 수 있다. 이 때, 상자  $i$ 에 있는 오염물 입자가 상자  $i + 1$  또는  $i - 1$ 로 이동할 확률은 상자  $i + 2$  또는  $i - 2$ 로 이동할 확률보다 크며, 또한 상자  $i + 2$  또는  $i - 2$ 로 이동할 확률은 상자  $i + 3$  또는  $i - 3$ 로 이동할 확률보다 크다고 가정한다. 따라서 상자  $i$ 에서 단위시간  $\Delta t$  동안의 플럭스  $J_i$ 는 다음과 같이 쓸 수 있다.

$$\begin{aligned} J_i &= \frac{R}{A} (p\omega_1^\alpha C_{i-1} + p\omega_2^\alpha C_{i-2} + p\omega_3^\alpha C_{i-3} + \dots + p\omega_1^\alpha C_i + p\omega_2^\alpha C_i + p\omega_3^\alpha C_i + \dots \\ &\quad - q\omega_1^\alpha C_{i+1} - q\omega_2^\alpha C_{i+2} - q\omega_3^\alpha C_{i+3} - \dots - q\omega_1^\alpha C_i - q\omega_2^\alpha C_i - q\omega_3^\alpha C_i - \dots) \\ &= R\Delta x \left( p \sum_{k=1}^{\infty} \omega_k^\alpha C_{i-k} + p \sum_{k=1}^{\infty} \omega_k^\alpha C_i - q \sum_{k=1}^{\infty} \omega_k^\alpha C_{i+k} - q \sum_{k=1}^{\infty} \omega_k^\alpha C_i \right) \end{aligned} \quad (14)$$

여기서  $\omega_k^\alpha$ 는 상자  $i$ 로부터  $k$ 개만큼 떨어진 인근 상자(즉, 상자  $i - k$  또는 상자  $i + k$ )에 있는 오염물 입자가 상자  $i$ 로 점프할 확률로서  $\sum_{k=1}^{\infty} \omega_k^\alpha = 1$ 이며  $\omega$ 는  $k$ 에 대하여 감소함수이다. 이 때  $\alpha$ 는  $k$ 에 대한  $\omega$

의 감소 정도를 나타내는 매개변수이다. 만약 가중치  $w_k^\alpha$ 를 아래와 같이 각각 정의할 수 있다면 이는 곧 프랙탈 가중함수를 적용할 수 있게 됨을 의미한다.

$$\omega_k^\alpha = \frac{W_k^\alpha}{\sum_{k=1}^{\infty} W_k^\alpha} = \frac{W_k^\alpha}{T} \quad (15)$$

여기서  $W_k^\alpha$ 는 식 (9)에서 정의한 프랙탈 가중함수이며, 만약  $\alpha = 1$ 이면  $T = 1$ 이고,  $0 < \alpha < 1$ 이면  $0 < T < 1$ 이 된다. 이제 플럭스  $J_i$ 는 앞서 설명한 프랙탈 계산법에 의해 아래와 같이 유도될 수 있다.

$$\begin{aligned} J_i &= -\frac{R\Delta x}{T} \left\{ p \left( C_i - \sum_{k=1}^{\infty} W_k^\alpha C_{i-k} \right) - q \left( C_i - \sum_{k=1}^{\infty} W_k^\alpha C_{i+k} \right) - (1+T)(p-q)C_i \right\} \\ &= -\frac{R\Delta x^{\alpha+1}}{T} \left\{ p \cdot \frac{\Delta_+^\alpha C_i}{\Delta x^\alpha} - q \cdot \frac{\Delta_-^\alpha C_i}{\Delta x^\alpha} \right\} + R\Delta x \cdot \frac{T+1}{T} \cdot (p-q)C_i \end{aligned} \quad (16)$$

이 때, 극한  $\Delta \rightarrow 0$ 을 취하고 확산계수를  $K_\alpha = R\Delta x^{\alpha+1}/T$ 로 정의하면 다음과 같은 프랙탈 Fick의 법칙을 유도할 수 있다.

$$J_i = -K_\alpha (p \cdot D_+^\alpha C_i - q \cdot D_-^\alpha C_i) \quad (17)$$

여기서  $\alpha$ 는 프랙탈 차수로서  $0 < \alpha \leq 1$ 의 범위를 가지며,  $D_+^\alpha$ 와  $D_-^\alpha$ 는 프랙탈 차수의 미분연산자이고,  $K_\alpha$ 의 단위는  $length^{\alpha+1}/time$ 이다. 만약 식 (30)에서  $\alpha = 1$ 이라면  $T = 1$ 이 되고, 여기에  $p = q = 1/2$ 라 하면 프랙탈 Fick의 법칙은 기존의 Fick의 법칙과 완전히 같아지게 되므로 기존에 사용되어 오던 Fick의 법칙은 프랙탈 Fick의 법칙의 한 가지 특수한 경우로서 설명될 수 있다. 따라서 하천오염물질의 모의를 위한 프랙탈 이송확산방정식은 아래와 같이 된다.

$$\frac{\partial C}{\partial t} = -\frac{\partial}{\partial x} \nu C + \frac{\partial}{\partial x} \left\{ K_\alpha \left( \frac{1+\beta}{2} D_+^\alpha C - \frac{1-\beta}{2} D_-^\alpha C \right) \right\} \quad (18)$$

이 때 통계학적인 설명의 용이성을 위하여  $\beta$ 는  $p$ 와  $q$ 를 대신하여 사용된 매개변수로서 다음과 같은 관계를 갖는다.

$$p = \frac{1+\beta}{2} \quad (19)$$

$$q = \frac{1-\beta}{2} \quad (20)$$

위와 같은  $\beta$ 의 정의는 농도분포 곡선의 왜곡도를 나타내는데 매우 용이하다.  $\beta$ 는  $-1 \leq \beta \leq 1$ 의 범위를 갖고 있으며  $\beta = 0$ 인 경우는 왜곡도가 0이 되어 농도분포곡선은 왜곡되지 않고 좌우 대칭인 분포곡선을 나타내며,  $\beta \rightarrow -1$ 인 경우는 분포곡선의 첨두부가 왼쪽으로 크게 치우친 분포곡선을,  $\beta \rightarrow 1$ 인 경우에는 오른쪽으로 크게 치우친 분포곡선을 보여주게 된다.

## 5. 결론

본 연구에서는 하천에서의 오염물질 거동해석을 위한 프랙탈 이송확산방정식을 유도하였다. 유도의 핵심 과정은 프랙탈 계산법의 도입이었으며, 이 과정을 유한차분개념을 통하여 해석적으로 설명하고자 하였다. 본 연구에서 제안된 프랙탈 이송확산방정식을 통하여 하천 오염물질의 모의 시 발생하는 시간-농도 분포곡선의 왜곡현상과 분포곡선의 전방부 또는 후방부의 농도 과소평가 문제 등을 해결할 수 있을 것으로 기대된다.

## 참 고 문 헌

1. Blank, L. (1996). "Numerical treatment of differential equations of fractional order." Manchester Centre for Computational Mathematics Numerical Analysis Report No. 287.
2. Fick, A. (1855). "On liquid diffusion." *Philos. Mag.*, 294, pp. 30-39.
3. Samko, S.G., Kilbas, A.A. and Marichev, O.I. (1993). "Fractional Integrals and Derivatives: Theory and Applications." Gordon & Breach, Amsterdam.
4. Taylor, G.I. (1954). "Conditions under which dispersion of a solute in a stream of solvent can be used to measure molecular diffusion." *Proc. Roy. Soc. A*, 225, pp. 473-477.

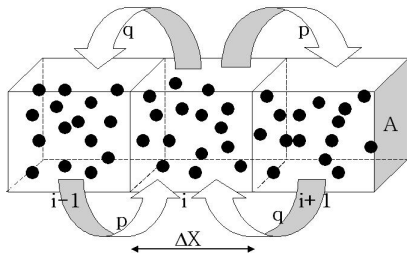


그림 1. Fick의 법칙

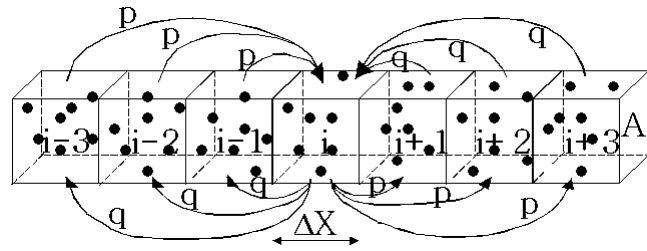


그림 4. 프랙탈 Fick의 법칙

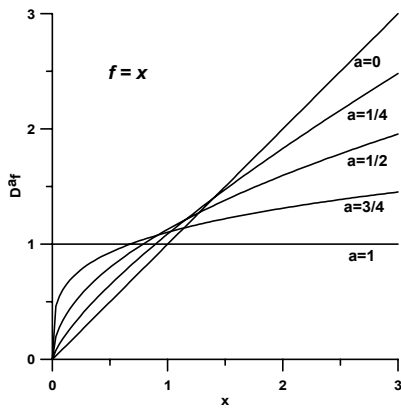


그림 2. 정수차수미분과 프랙탈차수미분

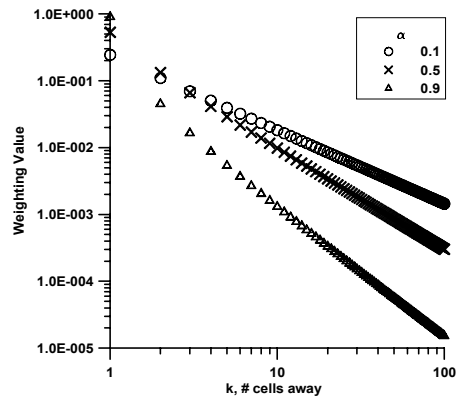


그림 3. 프랙탈 차수 미분의 가중함수